



مدلسازی و بهینه‌سازی پرتو (pareto) ضرایب آئرودینامیکی پرتابه مافوق صوت با استفاده از شبکه عصبی و الگوریتم ژنتیک

ایمان حسیبی^۱، احسان یساری^۲، محمود پسندیده فرد^۳، الهام یساري^۴

۱-دانشگاه فردوسی مشهد، دانشکده مهندسی، گروه مکانیک- صندوق پستی ۹۱۷۷۵-۱۱۱۱

۲-دانشگاه فردوسی مشهد، دانشکده مهندسی، گروه شیمی- صندوق پستی ۹۱۷۷۵-۱۱۱۱

چکیده

در این مقاله جریان تراکم پذیر مافوق صوت حول یک پرتابه مورد بررسی قرار گرفته است. معادلات حاکم بر سیستم مورد نظر توسط یک کد عددی مبتنی بر حجم کنترل جیمسون حل شده است که متغیرهای این کد شامل چهار پارامتر هندسی بالک می‌باشد. ضرایب استخراج شده از حل عددی به همراه پارامتر هندسی بالک جهت آموزش شبکه عصبی پیشخور سه لایه مورد استفاده قرار گرفته است. لایه ورودی شامل چهار پارامتر هندسی بالک، لایه میانی دارای شش نرون و لایه خروجی نیز شامل پارامترهای Ca (ضریب درگ) یا Cmz (ضریب گشتاور پایدار کننده) است. از الگوریتم‌های ژنتیک چند هدفه^۵ (WOGA^۶, NSGA-II)^۶ برای بهینه‌سازی ضرایب پسا و گشتاور پایدار کننده بالک‌های این پرتابه استفاده شده است. روش NSGA-II تابع هدف را به صورت مستقل از هم، براساس دو اصل فاصله ازدحام و رتبه بندی غلبه نشده ارزیابی و بهینه می‌کند. در روش WOGA تابع هدف نهایی بر اساس جمع وزنی تابع هدف اولیه و با بکار بردن ضرایب وزنی مختلف ساخته شده و بهینه می‌شود. مقایسه دو روش NSGA-II و WOGA بیانگر برتری روش NSGA-II در بهبود نتایج و کاهش حجم محاسبات می‌باشد.

واژه‌های کلیدی : پرتابه- بهینه سازی- شبکه عصبی- الگوریتم ژنتیک چند هدفه- NSGA-II

مقدمه

پرتابه‌ها مجموعه گسترده‌ای از صنایع نظامی را تشکیل می‌دهند که با گذشت زمان بر کارایی و اهمیت آنها افزوده می‌شود. بطور کلی «پرتابه» به جسمی اطلاق می‌شود که با نیروی خارجی به هوا روانه (launch) می‌شود. بالک (fin)، کوچکتر از بال (dr. москвича و راکتها) بوده و بطور معمول در قسمت عقب پرتابه قرار می‌گیرد. هدف از به کارگیری بالک، متعادل نگهداشتن پرتابه‌ها و تأمین پایداری آنها (انطباق محور پرتابه با زاویه حرکت) در مسیر پرواز می‌باشد. به همین علت به بالکها، تثبیت کننده (stabilizer) نیز گفته می‌شود. بطور کلی، بالکها را «کنترل کننده سطحی» می‌نامند.

در سال‌های اخیر بهبود مدام و افزایش کارآیی این دسته از ادوات نظامی مورد توجه واقع شده است. به دلیل پیچیدگی‌های موجود، آزمایش‌های تجربی بر روی آنها دشوار است. همچنین بهینه سازی پارامترهای مؤثر بر طراحی پرتابه بوسیله کدهای محاسباتی زمانبراست. بر این اساس الگوریتم‌های هوشمند بویژه شبکه‌های عصبی و الگوریتم ژنتیک در سطح گسترده‌ای بکارگرفته شده اند. تحقیقات بر روی شبکه‌های عصبی در سال ۱۹۴۰ میلادی شروع شد. شبکه‌های عصبی در حدود سال ۱۹۸۰ با معرفی شبکه‌های عصبی چند لایه^۱ [۱] در محدوده‌ای گسترده، شامل مسائل مهندسی کاملاً عمومی شدند. در دهه گذشته از الگوریتم شبکه عصبی در صنایع مربوط به هواضا استفاده شده است. نورگارد (Norgaard) [۲] شبکه‌های عصبی پس انتشار را برای طراحی آئرودینامیکی موثرتر در طی تست توبل باد مورد استفاده قرار داد و با آموزش چهار شبکه عصبی متفاوت، ضرایب لیفت، درگ، مومنتوم، اینرسی و نسبت لیفت به درگ بر حسب زاویه حمله و وضعیت باله را پیش‌بینی کرد. گیاناكوگلو (Giannakoglou) [۳] و همکارانش از الگوریتم‌های تکاملی در طراحی اشکال آئرودینامیکی استفاده کردند. سینلا (Cinnella) [۴] با استفاده از الگوریتم ژنتیک چند هدفه شبکه‌های بهینه ایروفویل را در جریان ترانسونیک لزج بدست آورد. آنسو (Alonso) و همکارانش [۵] الگوریتم ژنتیک چند هدفه و شبکه عصبی را در طراحی بهینه هواپیما (aircraft) بکار گرفتند.

^۱ دانشجو مهندسی مکانیک (نویسنده مخاطب)

^۲ دانشجو مهندسی مکانیک

^۳ استادیار

^۴ دانشجو مهندسی شیمی

^۵ Weighting Objective Genetic Algorithm

^۶ Non-dominated Sorting Genetic Algorithm

$$\hat{G}_i = J^{-1} \begin{bmatrix} \rho W \\ \rho uW + \zeta_x P \\ \rho vW + \zeta_y P \\ \rho wW + \zeta_z P \\ (\rho e + P)W \end{bmatrix} \quad (5)$$

در روابط فوق u ، v و w مولفه های سرعت بدون بعد، U و V سرعتهای contra variant در دستگاه دکارتی، بترتیب در جهت های x ، y و z می باشند. ρ دانسیته بدون بعد، P فشار بدون بعد و e انرژی کل است. انرژی کل برابر است با مجموع انرژی داخلی و انرژی جنبشی (بر واحد جرم) :

$$e = \frac{P}{\rho(\gamma-1)} + \frac{1}{2}(u^2 + v^2 + w^2) \quad (6)$$

در رابطه فوق، γ نسبت حرارت مخصوص سیال می باشد. برای تکمیل سیستم معادلات حاکم، معادله حالت با فرض گاز کامل نیز بکار می رود:

$$T = \gamma M_\infty^2 \frac{P}{\rho} \quad (7)$$

منتظری و پسندیده فرد [۶] معادلات فوق را با استفاده از روش رانگ - کوتای مرتبه چهار حل کردند که نتایج حاصل از این کد در مراحل بعدی این پژوهش مورد استفاده قرار گرفته است. دقت و کارآیی این کد توسط پسندیده فرد و ملک جعفریان [۷و۸] به اثبات رسیده است. نتایج اخذ شده از کد مذکور با استفاده از روش چند بلوکی برای عدد ماخ ۵ و زاویه حمله کمتر از ۱ درجه حاصل شده است. شکل ۱ نمای سه بعدی بالک های پرتاپه را نشان می دهد که به ۴ بلوك تقسیم شده است. از خروجی های این کد پارامترهای Ca (ضریب درگ) و Cmz (ضریب گشتاور پایدار کننده) استخراج شد.

هنده سه بالک

بالک های مورد مطالعه در این پژوهش، مطابق شکل ۲ دارای زاویه شیب β ، ارتفاع h و ضخامت t می باشند. طول کلی بالک Lfin می باشد. در ناحیه انتهای بالک، یک عقربه فتگی با طول SL وجود دارد که از ارتفاع H4 آغاز و در ارتفاع H5 به میزان بیشینه خود می رسد. ناحیه شیب دار و ناحیه بدون شیب، با یک کمان دایره ای به شعاع R به هم وصل شده اند. قسمت شیب دار بالک دارای یک ناحیه تخت به ضخامت Lb و یک ناحیه اریب Lb می باشد که طول عمود بر شیب ناحیه اریب، tk است. طول Lb در شکل ۳ نمایش داده شده است.

در این مقاله با استفاده از شبکه عصبی و الگوریتم ژنتیک چند هدفه ضرایب پسا و گشتاور پایدار کننده بالک پرتاپه مافوق صوت بهینه گردید. در ادامه نتایج بدست آمده از دو روش الگوریتم ژنتیک با رتبه بندی غلبه نشده (NSGA-II) و الگوریتم ژنتیک با جمع وزنی توابع هدف (WOGA) مقایسه شد.

معادلات حاکم و روش حل عددی

شکل پایدار معادلات تراکم پذیر ناوبر استوکس، یک دستگاه معادلات از نوع بیضوی - هذلولوی می باشد. اگر جملات مربوط به ناپایداری به این معادلات افزوده شوند، دستگاه معادلات از نوع سهموی - هذلولوی خواهد شد که حل آن آسانتر می باشد. بدین ترتیب معادلات ناوبر - استوکس ناپایا، با فرض جریان غیرلزج، تراکم پذیر و سه بعدی در دستگاه مختصات منحنی الخط بصورت زیر نوشته می شوند:

$$\frac{\partial \hat{q}}{\partial t} + \frac{\partial \hat{E}_i}{\partial \xi} + \frac{\partial \hat{F}_i}{\partial \eta} + \frac{\partial \hat{G}_i}{\partial \zeta} = 0 \quad (1)$$

در رابطه فوق، \hat{q} متغیر وابسته، و \hat{E}_i ، \hat{F}_i و \hat{G}_i بردارهای شار جابجایی غیر لزج می باشند. عبارتهای \hat{q} ، \hat{E}_i ، \hat{F}_i و \hat{G}_i بصورت زیر می باشند:

$$\hat{q} = J^{-1} \begin{bmatrix} \rho \\ \rho u \\ \rho v \\ \rho w \\ \rho e \end{bmatrix} \quad (2)$$

$$\hat{E}_i = J^{-1} \begin{bmatrix} \rho U \\ \rho uU + \zeta_x P \\ \rho vU + \zeta_y P \\ \rho wU + \zeta_z P \\ (\rho e + P)U \end{bmatrix} \quad (3)$$

$$\hat{F}_i = J^{-1} \begin{bmatrix} \rho V \\ \rho uV + \eta_x P \\ \rho vV + \eta_y P \\ \rho wV + \eta_z P \\ (\rho e + P)V \end{bmatrix} \quad (4)$$

ذوزنقه ای بالک حفظ شود. برای این منظور ۲ شرط زیر باید برقرار باشند.

$$h_{\max} = 86 \cdot \tan(\beta) \quad (10)$$

$$\beta_{\min} = \arctan(h)$$

جدول ۱- مقادیر و محدوده ابعاد هندسی بالک ها

پارامتر هندسی	محدوده پارامتر هندسی	x
β	[۳۶-۳۲]	x(1)
h	[۳۰-۶۰]	x(2)
t	[۲.۲-۳]	x(3)
Lb	[۰.۲۹-۲]	x(4)

- آزمایش شبکه عصبی
برای آزمایش شبکه، از ۱۷ داده ورودی متفاوت با ورودی های بکار رفته جهت آموزش بهره گرفته شده است و نتیجه ای که از تخمین شبکه حاصل می شود با نتیجه حاصل از کد محاسباتی مقایسه شده است. هیستوگرام خطای حاصل از آزمایش شبکه برای دو پارامتر Ca و Cmz در شکل های ۵ و ۶ اورده شده است.

الگوریتم ژنتیک

در این مقاله مبنای بهینه سازی بر استفاده از الگوریتم ژنتیک قرار داده شده است. مراحل اجرای الگوریتم ژنتیک برای بهینه سازی یکتابع هدف در شکل ۷ نشان داده شده است. الگوریتم در ابتدا با تولید یک جمعیت اولیه شروع می شود، این جمعیت بر اساس تابع هدف تعیین شده برای مسئله ارزیابی می گردد. سپس از بین این جمعیت، اعضایی برگزیده شده و با اعمال عملگرهای ژنتیکی جهش^۱ و همگذری^۲ بر روی آنها، نسل بعدی که اصطلاحاً فرزندان خوانده می شوند، تولید می شوند. در گام بعدی، اگر شرایط توقف تعیین شده برای مسئله ارضاء شده باشد، مسئله بهینه سازی متوقف شده و نقطه ای که در نسل فعلی بالاترین مقدار برازنده‌گی را داشته به عنوان نقطه بهینه معرفی می‌گردد، در غیر این صورت مجدداً مراحل قبلی تکرار شده و عدد نسلها افزایش می یابد.

روشهای بهینه سازی چندهدفه

روشهای بهینه سازی چندهدفه قادرند مسائلی را که معادلات پیچیده‌ای دارند و دارای متغیرهای متعدد و توابع هدف مختلفی می باشند، بهینه نمایند. به عنوان مثال در شکل ۸، یک مسئله چندهدفه دارای دو متغیر x1 و x2 است که مجموعه‌ای را به

مدلسازی توسط شبکه عصبی

به دلیل محدودیت‌های موجود در انجام آزمایش‌های تجربی همچنین زمان بر بودن استفاده از کدهای محاسباتی، از شبکه عصبی به منظور برقراری ارتباط بین پارامترهای ورودی و خروجی کد استفاده شده است. در اینجا از شبکه پیشخور سه لایه استفاده شده است. لایه ورودی شامل چهار پارامتر هندسی بالک، لایه میانی دارای شش نرون و لایه خروجی نیز شامل پارامترهای Ca یا Cmz یا می باشد شکل ۴. انتخاب تعداد نرون‌ها در لایه‌های پنهان معمولاً مبتنی بر روش‌های سعی و خطاست تا شبکه‌ای با کمترین خطای بدست آید. استفاده همزمان از دو پارامتر Ca و Cmz در لایه خروجی موجب کاهش دقت شبکه می شود، لذا از دو شبکه عصبی مستقل شامل ۱۱۱ داده ورودی و ۱۷ داده آزمون با تابع انتقال تانژانت (Tansig) و تابع آموزش بایسین (Bayesian) استفاده شده است [۹].

در این مقاله مقدار مینیمم گرادیان برابر با 10^{-30} ، حداقل مربعات خطای برابر با 10^{-20} و بیشترین تعداد تکرار (epoch) برابر با ۴۰۰ انتخاب شده است. برای دستیاری به کمترین مقدار میانگین مربعات خطای (MSE)، شبکه‌ها به ازای تعداد تکرارهای ۱-۴۰۰ آموزش دیده اند و تعداد تکرار بهینه برای شرایط اولیه یکسان در هر شبکه تعیین شده است. پس از آن با توجه به کمترین مقدار میانگین مربعات خطای تعداد تکراری که شبکه به ازای آن آموزش می بیند انتخاب می شود.

- انتخاب ورودی های شبکه عصبی
برای آموزش شبکه عصبی لازم است که در ابتدا تعداد مشخصی از داده های ورودی با خروجی های معلوم در دست باشند. ابتدا خروجی های لازم توسط کد محاسباتی و بر اساس ورودی های مشخص بدست آمده است. چهار پارامتر هندسی بالک که عنوان متغیر در نظر گرفته شده عبارتند از: زاویه شبکه β ، ارتفاع h ، ضخامت t و ناحیه تخت پیشانی بالک Lb.

در این مقاله هدف نهایی بهینه سازی پارامترهای Ca و Cmz است، لذا برای انتخاب ورودی های لازم، بهتر است ورودی ها از محدوده‌ای انتخاب شوند که خروجی به مقدار بهینه پارامترهای Ca نزدیک باشد. برای این منظور از نتایج پسندیده فرد ومنتظری [۶] استفاده شده است. بدین ترتیب که با توجه به روند تغییر این پارامترها بر حسب هر یک از پارامترهای هندسی بالک محدوده‌ای انتخاب شده است که بهترین مقدار این پارامترها در آن بازه باشد. در نهایت برای آموزش شبکه ۱۱۱ هندسه متفاوت بکار گرفته شده است. متغیرهای هندسی مطابق جدول ۱ به عنوان پارامترهای بهینه سازی در نظر گرفته شده‌اند. طول بالک ثابت فرض شده است، و پارامترها طوری انتخاب شده اند که شکل

¹ Mutation

² Crossover

فاصله ازدحام

پس از جبهه بندی نقاط، معیار دیگری که برای ارزیابی نقاط موجود در یک جبهه بکار می‌رود، فاصله ازدحام است. این فاصله ازدحام جایگزینی برای مفهوم σ_{share} در روش NSGA-II است و به همین دلیل، این روش که در سال ۲۰۰۲ ارائه شده نام NSGA-II به خود گرفته است [۱۳].

ابتدا برای هر تابع هدف k ، نتایج مرتب می‌شوند. به نقاطی که ماکریم و مینیمم مقدار این تابع هدف را دارند، مقدار فاصله ازدحام بی نهایت اختصاص می‌یابد $(cd_k(x_{[n,k]}) = \infty)$ و برای سایر نقاط $(i = 2, \dots, n-1)$ از رابطه 14 استفاده شده و فواصل ازدحام اطراف هر نقطه جمع می‌شوند. z_k تابع هدف k ام و z_k^{\min}, z_k^{\max} مقادیر بیشینه و کمینه آن تابع هستند.

$$cd_k(x_{[i,k]}) = \frac{z_k(x_{[i+1,k]}) - z_k(x_{[i-1,k]})}{z_k^{\max} - z_k^{\min}} \quad (14)$$

$$cd(x) \sum_k cd_k(x) \quad (15)$$

برای درک بهتر مفهوم فاصله ازدحام، در شکل ۱۰ فاصله ازدحام نقطه x محاسبه شده است. هرچه نقطه و عضوی از یک جبهه، فاصله ازدحام بیشتری داشته باشد، بدین معنی است که تراکم پاسخ‌ها در آن حدود کمتر بوده و بنابراین آن عضو برای قرار گرفتن در نسل بعدی شایسته تر است.

مراحل الگوریتم NSGA-II در بهینه سازی بالک

۱- ابتدا جمعیت P_0 با اندازه N بصورت تصادفی ایجاد می‌شود. از شمارنده t برای تمایز بین نسل‌ها استفاده می‌شود. در این مرحله $t=0$ است.

۲- با اعمال عملگرهای همگذاری و جهش یک جمعیت فرزند Q_0 با اندازه N تولید می‌شود.

۳- جمعیت R_t با اندازه $2N$ از اجتماع P_t, Q_t ایجاد می‌گردد.

۴- با استفاده از روش مرتب سازی غلبه نشده تمامی اعضای جمعیت در جبهه‌های F_1, F_2, \dots, F_n قرار می‌گیرند و برای اعضای همه جبهه‌ها مقادیر فواصل ازدحام محاسبه می‌شود.

۵- جمعیت والدین P_{t+1} بصورت زیر اجرا می‌شود: در صورتیکه $|P_{t+1}| + |F_i| > N$ ، اعضایی از F_i که فاصله ازدحام بیشتری داشته باشند به P_{t+1} اضافه می‌شوند تا اندازه جمعیت P_{t+1} برابر N شود.

فرم S بوجود آورده است. مجموعه پاسخهای آن، مجموعه Y است که در فضایی متشکل از دو تابع هدف f_1 و f_2 شکل گرفته است. نقاط یا پاسخ‌های بهینه در چنین مسئله‌ای منحنی ترسیم شده از نقطه f_1 تا f_2 است. به این مجموعه نقاط، مجموعه نقاط بهینه پرتو^۱ می‌گویند. در این مقاله پارامترهای Ca و Cmz به عنوان توابع هدف انتخاب شده و از دو روش مختلف الگوریتم ژنتیک برای بهینه سازی استفاده شده است:

۱- الگوریتم ژنتیک با جمع وزنی توابع هدف (WOGA)

در این روش توابع هدف اولیه بر اساس جمع وزنی و با به کار بردن ضرایب وزنی مختلف با هم ترکیب شده و تابع هدف نهایی را می‌سازند. ضرایب وزنی (w_1, w_2, \dots, w_n) همگی مثبت هستند [۱۰].

$$f(a_i) = \sum_{k=1}^n w_k f_k(a_i) \quad (11)$$

$$\sum_{k=1}^n w_k = 1 \quad (12)$$

۲- الگوریتم ژنتیک با رتبه بندی غلبه نشده (NSGA-II)

در این روش توابع هدف به صورت مستقل از هم بر اساس دو اصل رتبه بندی غلبه نشده و فاصله ازدحام^۲ ارزیابی می‌شوند. پاسخهای این روش مجموعهای از نقاط بهینه (نقاط پرتو) است که نسبت به نقاط اطراف خود برتری و غلبه دارند [۱۱].

رتبه بندی غلبه نشده

در روش NSGA-II اعضای جمعیت یک نسل بر اساس مفهوم غلبه داشتن مرتب می‌شوند. در روش مرتب سازی غلبه نشده، اعضایی از جمعیت که توسط هیچ عضو دیگری غلبه نشده باشند، رتبه ۱ نسبت داده شده و درجه به اول (F1) قرار گرفته و از جمعیت مؤقتاً کنار گذاشته می‌شوند. سپس در بین اعضای باقیمانده مجدداً اعضایی که غلبه نشده باشند، انتخاب شده و رتبه ۲ به آنها تعلق می‌گیرد. این اعضا در جبهه دوم قرار گرفته و بطور موقت از جمعیت کنار می‌روند. این روند تا قرار گرفتن تمامی اعضای جمعیت، مطابق شکل ۹، در جبهه‌های مختلف ادامه می‌یابد. هرگاه شروط رابطه 13 برقرار باشد بدین معنی است که نقطه x بر نقطه y غلبه دارد [۱۲].

f_i, f_j توابع هدف i ام و j ام هستند.

$$\begin{cases} \forall i \in 1, 2, \dots, k : f_i(x) \leq f_i(y) \\ \exists j \in 1, 2, \dots, k : f_j(x) < f_j(y) \end{cases} \quad (13)$$

¹ pareto

² Crowding Distance

جدول ۳ - عملگرهاي ژنتيکي و پارامترهاي به کار رفته در WOGA روش

روش همگذری	روش جهش	روش انتخاب	شرط توقف	تعداد نسلها	جمعیت اولیه
Two point	Uniform	Tournament	امام نسلها	٧٠٠	٣٠

جدول ۴ - عملگرهای ژنتیکی و پارامترهای به کار رفته در NSGA-II،^۱ و

روش همگذری	روش جهش	روش انتخاب	شرط وقف	تعداد نسلها	جمعیت اولیه
SBX	polyno mial	Tournamen t	اتمام نسلها	٤٥٠	٣٠

نتائج

مجموعه نقاط بهینه پرتو بدست آمده از روش NSGA-II در شکل ۱۳ نشان داده شده است. این نقاط مجموعه‌ای از بالکهای بهینه است که هر کدام از آنها در یک معین هندسه‌ای را به دست میدهد که بالاترین Cmz را دارد.

در شکل ۱۴ تغییرات Ca و Cmz نقاط بهینه پرتو بر حسب تغییرات پارامتر هندسی ارتفاع بالک رسم شده است. در بازه $50 < h < 45$ بیشترین نرخ افزایش Cmz در مقابل نرخ افزایش Ca مشاهده می‌کنیم.

در شکل ۱۵ بهبود روند نتایج در نسل‌های مختلف نشان داده شده است. گسستگی موجود در ده نسل اول به علت عدم حذف نقاط غیر بهینه می‌باشد. با ادامه روند تکاملی تا نسل ۵۰ نتایج بهبود پیدا می‌کند و به سمت مینیمم شدن در نسل ۴۵۰ می‌رسد.

در شکل ۱۶ نمودار تغییرات Ca و Cmz نقاط پرتو در روش NSGA-II نشان داده شده است. نقاط پرتو به خوبی در کل فضای حل NSGA-II پخش شده اند و نقاط بهینه بدست آمده هم شامل نقاط با Cmz بالا و هم نقاطی با Ca پایین است.

در شکل ۱۷ تغییرات Ca و Cmz نقاط بینه در روش افزایش ضریب وزنی WOGA بر حسب افزایش ضریب وزنی Cmz، سم شده اند.

در شکل ۱۸ نتایج بدست آمده از هر دو روش بر روی یک نمودار نشان داده شده است. نتایج روش WOGA با اعمال ۷ دسته ضرایب وزنی با یک روند افزایشی در ضریب وزنی راندمان بدست آمده است. روش NSGA II در مقایسه با روش

۶- پس از تشکیل جمیعت P_{t+1} , با استفاده از روش انتخاب مسابقه ای ۱، مقایسه رتبه بین اعضای هر مسابقه انجام می شود. عضوی که رتبه بهتری (بایین تر) داشته باشد، انتخاب می شود. در حالی که رتبه اعضای تورنمنت یکسان باشد، عضوی که فاصله از حدمان آن بیشتر باشد، انتخاب می شود. سپس عملگرهای همگذری و جهش برای تولید جمیعت فرزندان Q_{t+1} با اندازه

(١) [شکار] [۱۳] ۲۹: ۳۴۰-۳۴۱

تاریخ هدف

در روش‌های مختلف بهینه سازی، ابتدا باید یک مدل ریاضی مناسب شامل یک تابع هدف بر حسب متغیرهای طراحی و قیود حاکم بر مساله تعریف نمود با توجه به این که Cmz و Ca بر عملکرد پرتابه اثرگذارند، این دو پارامتر به عنوان توابع هدف انتخاب شده‌اند. تابع هدف در روش WOGA مطابق رابطه ۱۶ در نظر گرفته شده است که در آن w_1, w_2 ضرایب وزنی هستند.

$$f(1)=f(x(1), x(2), x(3), x(4))=w1(Ca)+w2(Cmz) \quad (18)$$

توابع هدف در روش NSGA-II مطابق رابطه ۱۷ و ۱۸ در نظر گرفته شده است.

$$f(1)=f(x(1), x(2), x(3), x(4))=mih \text{ Ca} \quad (14)$$

$$f(2)=f(x(1), x(2), x(3), x(4))=mifl - Cmz) \quad (18)$$

دوند حل

در این مقاله حل عددی در فرترن صورت گرفته است و از برنامه های کامپیوتري شبکه عصبی و الگوريتم زنتيك در نرم افزار مطلب استفاده شده است. مراحل اتصال اين برنامه ها به هم در شکاف نشان داده شده است.

در روش WOGA برای بهینه سازی از ضرایب وزنی مختلفی استفاده شده است. این ضرایب در جدول ۲ ارائه گردیده اند.
همچنین عملگرها و پارامترهایی که در بهینه سازی با روش WOGA استفاده شده اند در جدول ۳ آمده است. در روش NSGA-II از عملگرهای ژنتیکی متفاوتی نسبت به روش WOGA استفاده شده که این عملگرها در جدول ۴ بیان گردیده اند.

جدول ۲ - ضرایب وزنی استفاده شده در روش WOGA

W1	W2	W3	W4	W5	W6	W7	W8	W9	W10
٠.١	٠.٢	٠.٣	٠.٤	٠.٥	٠.٦	٠.٧	٠.٨	٠.٩	٠.٠
٠.٩	٠.٨	٠.٧	٠.٦	٠.٥	٠.٤	٠.٣	٠.٢	٠.١	٠.٠

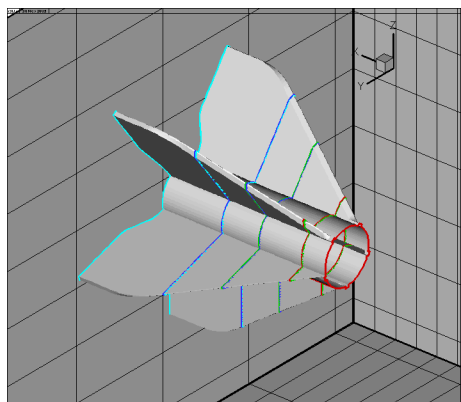
¹ Tournament Selection

11. Konak A., Coit W., Smith A.E., Multi objective optimization using genetic algorithm: A Tutorial , *Journal of Reliability Eng and system safety*, Vol.91, 2006, pp.992-1007

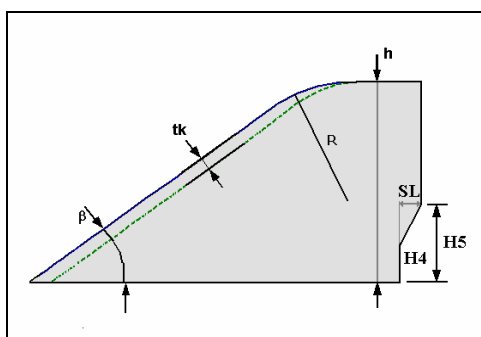
12. Augusto O.B., Rabeau S., Ph.De' pince', F. Bennis, Multi-objective genetic algorithms: A way to improve the convergence rate, *Engineering Applications of Artificial Intelligence*, Vol.19 2006,pp.501-510.

13. Deb K., Pratap A., Agarwal S., Meyarivan T., A fast and elitist multi objective genetic algorithm: NSGA-II., *IEEE Transaction Evolutionary Computation*, Vol.6(2), 2002, pp.182-197.

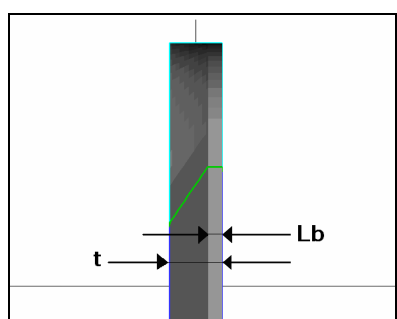
شکل‌ها و نمودارها



شکل-۱- بالک ها



شکل-۲-نمای جانبی بالک



شکل-۳-نمای بخشی از بالک از جلو

نتایج بهینه‌تری را نشان می‌دهد به طوری که CMZ به سمت بیشینه و CA به سمت کمینه میل می‌کند.

نتیجه‌گیری

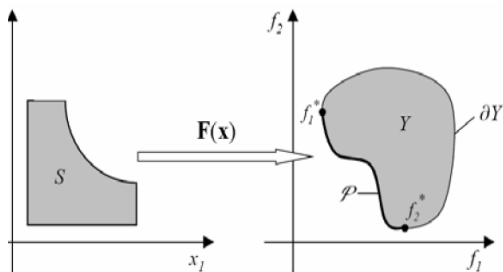
نتایج بدست آمده از روش NSGA-II نسبت به روش WOGA در CA ثابت، هندسه‌ای با CMZ بالاتر بدست آورده است همچنین نتایج روش WOGA بعد از ۷ بار اجرای برنامه به ازای هر یک از ضرایب وزنی حاصل شده در حالی که نتایج روش II فقط با یک بار اجرای الگوریتم بدست آمده است.

مراجع

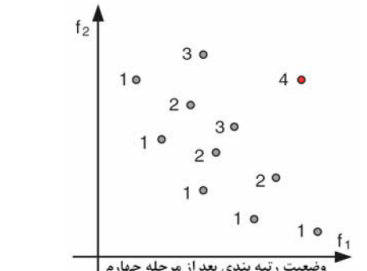
- Rumelhart DE, McClelland JL, the PDP Group, Parallel distributed processing, Cambridge,1986, vol. I and II.
- Norgaard M, Jorgenson CC, Ross JC, Neural network prediction of new aircraft design coefficients, NASA TM-112197, May1997, p. 20
- K.C. Giannakoglou, Papadimitriou and I.C. Kampolis, Aerodynamic shape design using evolutionary algorithms and new gradient-assisted metamodels , *Computer Methods in Applied Mechanics and Engineering* , 15 September 2006,Volume 195, Issues 44-47, Pages 6312-6329.
- P. Cinnella, Optimal airfoil shapes for viscous transonic flows of Bethe-Zel'dovich Thompson fluids , *Computer & Fluids Article in Press*, July 2007, Corrected Proof.
- J.J. Alonso, Aircraft design optimization, *Mathematics and Computers in Simulation Article in Press*, july 2007, Corrected Proof.
- Mahmood Pasandideh-F, Hamed Montazeri, Numerical Analysis and Parametric Study of supersonic Projectiles with Fins using Multi-block Grid Generations, *CFD CANADA*
- M.Pasandideh Fard, and M.Malek Jafarian, Full Navier-Stokes Computations of Supersonic Flows over a Body at High Angles of Attack and Investigation of Crossflow Separation, *SCIENTIA IRANICA*, Vol. 11, No. 4, fall 2004.
- M.,Malek Jafarian, and M.,Pasandideh Fard ,Three Dimensional Transonic Flow Computations over a Projectile and at the Base Region, *J A S T*,Vol. 2, No. 1, winter 2005.
- یساري، لوايى، پسندideh فرد، يساري، تخمين و بهينه سازى پaramتر كارائي بالکهاي يك پرتا به مافق صوت با استفاده از شبکه عصبی و الگوریتم زنتیک، کنفرانس سراسری انجمن هوافضای ایران، ۱۳۸۵
- Coelho R.F., Multi criteria Optimization with Expert Rules for Mechanical Design, *PhD Dissertation, UNIVERSITÉ LIBRE DE BRUXELLES*, 2004.



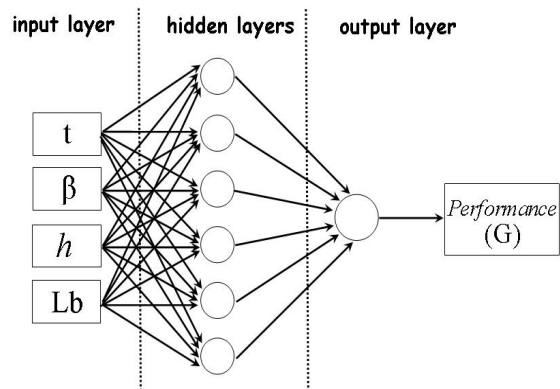
شكل ۷-مراحل الگوریتم ژنتیک



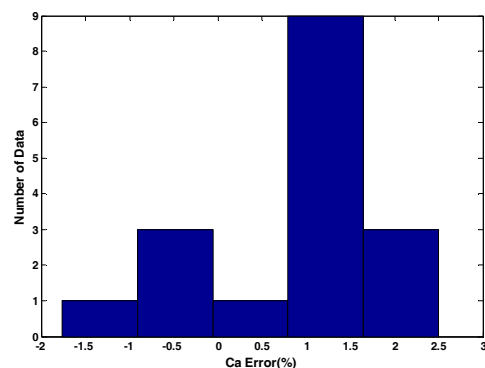
شكل ۸- یک مسئله بهینه سازی چندهدفه



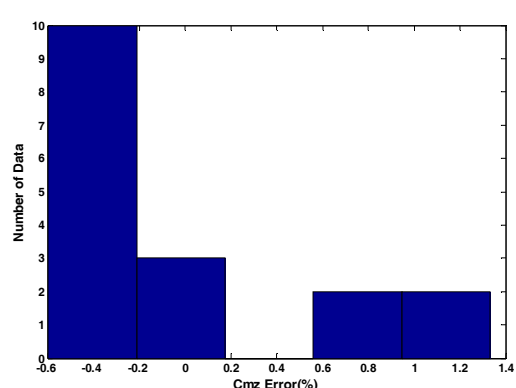
شكل ۹- رتبه بندی اعضای یک نسل در جبهه های مختلف



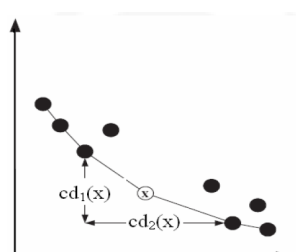
شكل ۴- شبکه عصبی با متغیرها و لایه های آن



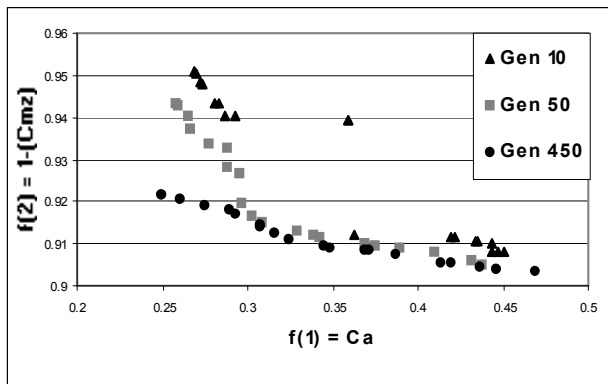
شكل ۵- هیستوگرام خطای حاصل از آزمایش شبکه برای پارامتر Ca



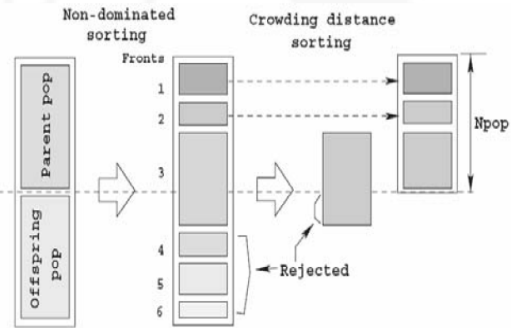
شكل ۶- هیستوگرام خطای حاصل از آزمایش شبکه برای پارامتر Cmz



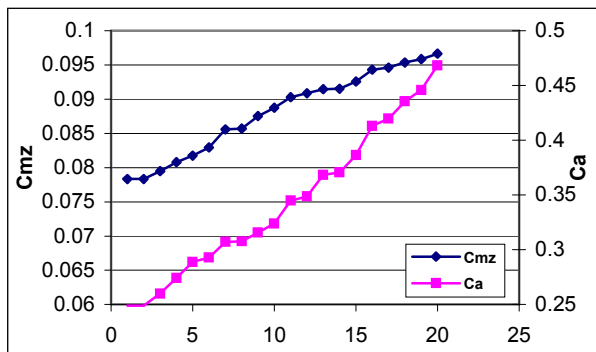
شكل ۱۰- فاصله ازدحام نقاط اطراف x



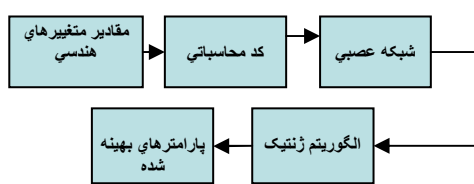
شکل ۱۵- روند بهبود نتایج در روش NSGA-II برای نسلهای مختلف



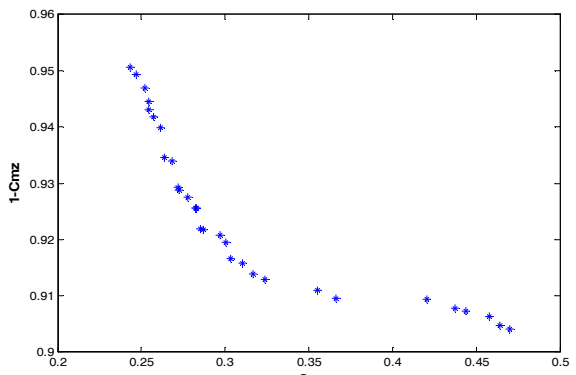
شکل ۱۱- فلوچارت مراحل NSGA-II



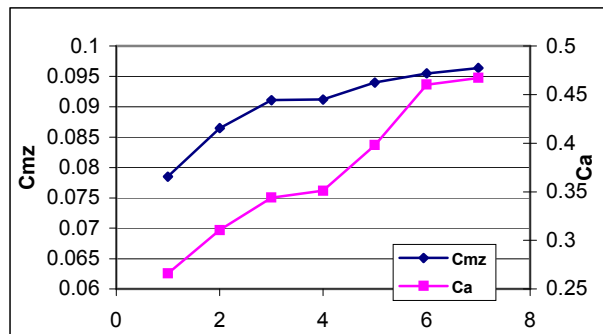
شکل ۱۶- نمودار تغییرات Ca و Cmz نقاط پرتو در روش NSGA-II



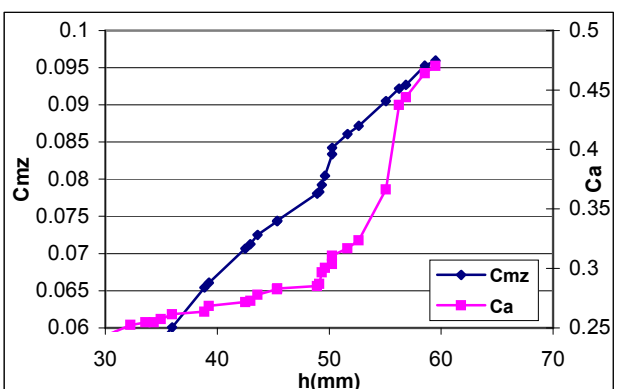
شکل ۱۲- مراحل حل مسئله



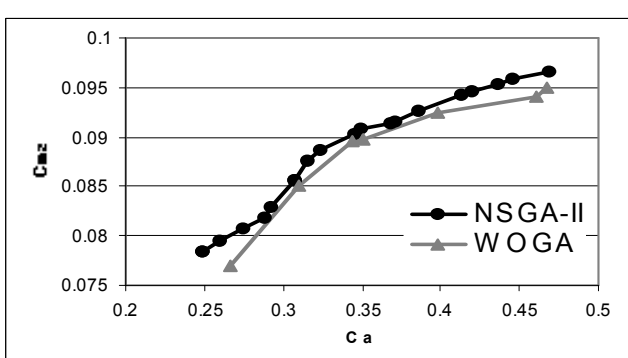
شکل ۱۳- مجموعه نقاط بهینه پرتو بدست آمده از روش NSGA-II



شکل ۱۷- نمودار تغییرات Ca و Cmz نقاط پرتو در روش WOGA



شکل ۱۴- تغییرات Ca و Cmz نقاط بهینه پرتو بر حسب تغییرات پارامتر هندسی ارتفاع بالک



شکل ۱۸- نقاط بهینه بدست آمده از هر دو ر